

Sucrose Effect on Follicular Survival Rate and Apoptosis Incidence in Rat Ovarian Tissue after Vitrification

Rouhollah Fathi¹, Mojtaba Rezazadeh Valojerdi^{2,3*}, Mojdeh Salehnia²

1- Ph.D. Candidate, Department of Anatomy, Faculty of Medical Sciences, Tarbiat Modares University, Tehran, Iran

2- Professor, Department of Anatomy, Faculty of Medical Sciences, Tarbiat Modares University, Tehran, Iran

3- Professor, Department of Embryology at Reproductive Biomedicine Research Center, Royan Institute for Reproductive Biomedicine, ACECR, Tehran, Iran

*Corresponding Address: P.O.Code: 1411713116, Department of Anatomy, Faculty of Medical Sciences, Tarbiat Modares University, Tehran, Iran
Email: mr_valojerdi@modares.ac.ir

Received: 10/Dec/2012, Accepted: 02/Feb/2013

Abstract

Objective: the aim of this study was to evaluate the effect of sucrose on follicular survival rate and the incidence of apoptosis in rat ovarian tissue following vitrification.

Methods: Ovaries of approximately 5-week-old female Wistar rats were divided randomly into three groups: control (non-vitrified), V_I (Ethylene Glycol + Dimethyl Sulfoxide) and V_{II} (EG + DMSO + 0.25 mol/lit sucrose). Vitrified-warmed samples were incubated for approximately 30 minutes and fixed in Bouin's fixative. The samples were serially sectioned and stained either with H&E or immunohistochemistry kit of anti-active and a pro-caspase-3 kit.

Results: Data analysis showed that the rate of growing follicles that survived, with the exception of primordial follicles, was comparable between the vitrified-warmed and control samples. Morphologically healthy primordial follicles showed significant reductions in all vitrification groups compared to the control, however this rate was not significant between the vitrification groups. In comparison with healthy follicles, there were significantly more dead follicles in the vitrification groups than the control group. In addition the apoptotic follicles increased significantly after vitrification, with the exception of the antral follicles. Although the number of apoptotic follicles was similar between both vitrification groups, however there were significantly more pre-antral apoptotic follicles in the V_{II} group compared to the V_I and control groups.

Conclusion: According to these results, the presence or absence of sucrose has no significant effect on the preservation of primordial and primary follicles which are important for transplantation.

Keywords: Vitrification, Sucrose, Rat, Ovarian Tissue

Modares Journal of Medical Sciences: *Pathobiology*, Vol 15, No 4, Winter 2013, Pages: 49-61

اثر سوکروز بر میزان بقای فولیکول‌ها و وقوع مرگ سلوالی برنامه‌ریزی شده پس از انجماد شیشه‌ای بافت تخدمان موش صحرایی

روح الله فتحی^۱، مجتبی رضازاده‌وجردی^{۲*}، مژده صالح‌نیا^۳

- ۱- دانشجوی دکتری تخصصی، گروه آناتومی، دانشکده علوم پزشکی، دانشگاه تربیت مدرس، تهران، ایران
۲- استاد، گروه آناتومی، دانشکده علوم پزشکی، دانشگاه تربیت مدرس، تهران، ایران
۳- استاد، گروه جنین‌شناسی، مرکز تحقیقات پزشکی تولید مثل، پژوهشکده زیست‌شناسی و علوم پزشکی تولید مثل جهاد دانشگاهی، پژوهشگاه رویان، تهران، ایران

*آدرس نویسنده مسئول: ایران، تهران، کدپستی: ۱۴۱۱۷۱۳۱۱۶، دانشگاه تربیت مدرس، دانشکده علوم پزشکی، گروه آناتومی
Email: mr_valojerdi@modares.ac.ir

دریافت مقاله: ۹۱/۰۹/۲۰
پذیرش مقاله: ۹۱/۱۱/۲۸

چکیده

هدف: هدف از این مطالعه بررسی اثر سوکروز بر میزان زنده ماندن فولیکول‌ها و شیوع مرگ سلوالی برنامه ریزی شده در بافت تخدمان موش صحرایی پس از انجماد شیشه‌ای بود.

مواد و روش‌ها: تخدمان موش‌های صحرایی ۵ هفته‌ای پس از خارج شدن از بدن به سه گروه کنترل (غیرانجمادی)، انجمادی V_1 (ایلن گلیکول + دی متیل سولفوکساید) و V_2 (ایلن گلیکول + دی متیل سولفوکساید $25+0$ مول در لیتر سوکروز) تقسیم شد. پس از مرحله انجماد و ذوب، تخدمان‌ها حدود نیم ساعت انکوبه و بلافلصله در محلول بوئن تثبیت و سپس به صورت سریالی برش زده شد. به منظور بررسی ریخت‌شناسی بافت و نیز شمارش تعداد فولیکول‌های دچار مرگ سلوالی برنامه ریزی شده، قطعات به ترتیب رنگ‌آمیزی هماتوکسیلین- ائوزین و ایمونو‌هیستوژنی تیمار شده با آنتی‌بادی anti-active & pro caspase 3 انجام شد.

نتایج: مطالعات آماری نشان داد که میزان سالم ماندن فولیکول‌های در حال تکوین به استثنای فولیکول‌های بدبوی بین گروه‌های انجمادی و کنترل یکسان است. فولیکول‌های بدبوی سالم در گروه‌های انجمادی ضمن کاهش معنی‌دار در مقایسه با کنترل، تفاوت معنی‌داری را بین خود نشان ندادند. برخلاف فولیکول‌های سالم، فولیکول‌های مرده در همه مراحل با اختلاف تکوینی، افزایش معنی‌داری را در دو گروه انجمادی نسبت به کنترل نشان دادند. هر چند که این اختلاف بین گروه‌های انجمادی معنی‌دار نبود. در گروه‌های انجمادی، فولیکول‌های دچار مرگ سلوالی برنامه ریزی شده نیز در تمامی مراحل به غیر از آنترال افزایش معنی‌داری را نسبت به کنترل نشان دادند. بین دو گروه انجمادی نیز به غیر از مرحله فولیکولی پره‌آنترال ($V_1: 1/95 \pm 0/003$ درصد و $V_2: 4/12 \pm 0/02$ درصد، $P < 0/037$) میزان فولیکول‌های دچار مرگ سلوالی برنامه ریزی شده یکسان بود.

نتیجه‌گیری: این نتایج نشان می‌دهد که حضور سوکروز یا عدم حضور آن در فرآیند انجماد شیشه‌ای تخدمان موش صحرایی، به خصوص برای حفظ فولیکول‌های بدبوی و اولیه که در فرآیند پیوند از اهمیت خاصی برخوردار است تفاوت چندانی را ایجاد نمی‌کند.

کلیدواژگان: انجماد شیشه‌ای، سوکروز، موش صحرایی، بافت تخدمان

مجله علوم پزشکی مدرس: آسیب‌شناسی زیستی، دوره ۱۵، شماره ۴، زمستان ۱۳۹۱، صفحات: ۴۹-۶۱

اثر سوکروز بر انجاماد شیشه‌ای تخدمان موش صحرابی

مفید نیست. در خصوص سؤال دوم نیز باید اشاره نمود که ضدیخ‌ها در گونه‌های مختلف آثار متفاوتی دارد. ممکن است یک ضدیخ در گونه‌ای اثر سمی داشته و در گونه‌ای دیگر غیر سمی باشد [۹-۱۷].

از سوی دیگر؛ باید اذعان نمود که از زمان کشف اثر ضدیخ‌ها در فرآیند انجاماد و حفظ بافت و نمونه‌های زیستی، تاکنون ضدیخ‌های متفاوتی ارزیابی شده‌اند [۱۰]. از آن میان ضدیخ‌هایی چون گلیسرول و استامید در سال‌های ابتدایی کاربرد بیشتری داشته ولی به دنبال کشف اثر سرطان‌زاوی آن‌ها [۱۱]، امروزه کمتر مورد استفاده قرار می‌گیرند و بر عکس، (Ethylene Glycol: EG) ضدیخ‌هایی چون اتیلن گلیکول (Propanediol: PROH) و دی متیل سولفوكساید پروپاندیول (Dimethyl Sulfoxide: DMSO) که جزء ضدیخ‌های نفوذ کننده محسوب می‌شوند، امروزه کاربرد بیشتری در بالین داشته و استفاده از آن‌ها برای انجاماد بافت همچنان روبرو به گسترش است [۱۲]. اتیلن گلیکول به دلیل داشتن جرم مولکولی پایین و نیز اثر سمی کمتر نسبت به سایر ضدیخ‌ها، محبوبیت بیشتری یافته است. جرم مولکولی پایین آن موجب افزایش سرعت نفوذ شده و در موقیت انجاماد دخیل است [۱۳]. DMSO نیز در تحقیقات و بالین کاربرد فراوانی دارد و گزارش‌ها در زمینه استفاده مفید از این ضدیخ زیاد است [۱۴]. در هر صورت باید اضافه نمود که برای کاهش سمیت ضدیخ‌ها گاهی نیاز است که از ترکیب یک یا چند ضدیخ استفاده نمود [۱۵، ۱۶]. گروهی از ضدیخ‌ها برخلاف EG و DMSO به داخل سلول نفوذ نمی‌کنند و بیشتر به افزایش سرعت نفوذ ضدیخ‌های نفوذ کننده کمک کرده و از سمیت آن‌ها می‌کاهند. از جمله این مواد می‌توان به دی ساکاریدهایی مانند سوکروز یا ماکرونولکول‌هایی مانند فایکول اشاره نمود [۱۷]. موقیت استفاده از سوکروز در بسیاری از گزارش‌های انجاماد بافت تخدمان گونه‌های مختلف [۱۸] آمده است، اما برخی مطالعات نیز نشان می‌دهد که عدم استفاده از آن به خصوص در موش و انسان چندان مؤثر نخواهد بود [۱۹-۲۰] و استفاده از آن

مقدمه

حفظ مواد زیستی با استفاده از کاهش دما به قرن‌ها پیش بر می‌گردد، زمانی که بشر برای ذخیره مواد غذایی خود از یخچال‌های طبیعی بهره می‌برده است. اما باید اشاره نمود که پرداختن به مسئله انجاماد به صورت علمی از قرن هفدهم و با انتشار مقاله‌ای تحت عنوان «آزمایش و مشاهده‌ای جدید در تماس با سرمه» توسط روبرت بویل (Robert Boyle) آغاز شد [۲۱].

در دهه‌های اخیر انجاماد به دلیل کسب موقیت‌های قابل توجه در حفظ سلول‌های جنسی، جنین و بافت‌های تناسلی نیز از اهمیت خاصی در تحقیقات و بالین برخوردار شده است [۲۲] به گونه‌ای که محققین سعی نموده‌اند ضمن ارایه روش‌های مختلف و آثار احتمالی آن‌ها برای بافت، روشی را اتخاذ نمایند که حداقل آسیب را برای بافت تولید مثلی به خصوص بافت تخدمان که منع ذخایر سلول‌های جنسی ماده است، داشته باشد. بر این اساس در یک جمع‌بندی می‌توان گفت که دو روش کلی نظری انجاماد آهسته و شیشه‌ای برای ذخیره نمونه‌های زیستی به خصوص بافت تخدمانی وجود دارد. تفاوت در این دو روش را می‌توان به سرعت کاهش دما و چگونگی استفاده از مواد محافظت کننده در برابر سرمه نسبت داد.

در این رابطه دو سؤال مهم وجود دارد: ۱) چه میزان از بافت را منجمد کنیم؟ ۲) از چه مواد ضدیخی برای انجاماد کمک بگیریم؟ در پاسخ به سؤال اول باید گفت، از آن جایی که گامات‌های ماده در اکثر گونه‌های جانوری در ناحیه قشری تخدمان قرار دارند، بنابراین برای ذخیره‌سازی آن‌ها کافیست قشر تخدمان جداسازی و قطعات آن منجمد شود. این روش در جانوران بزرگ مانند انسان [۲۳]، گاو [۲۴] و گوسفند [۲۵] لازم و ضروری است. اگر چه گزارش‌هایی در خصوص انجاماد کل بافت تخدمان مشاهده می‌شود [۲۶]، اما به دلیل بزرگ بودن کل بافت تخدمان، متراکم بودن آن و نیز دارا بودن یک قسمت مرکزی بزرگ و سخت، انجاماد کل تخدمان

۳ گروه تقسیم‌بندی شدند: دو تخدمان به عنوان گروه کنترل یا غیرانجامدادی در نظر گرفته شد و بلافارسله در محلول ثبیت کننده بوئن (Bouin's) (ثبیت شدند. چهار تخدمان دیگر نیز به صورت تصادفی در دو گروه انجامدادی I (شامل دو ضد یخ EG و DMSO) و II (شامل EG، DMSO و ۰/۲۵ مول در لیتر سوکروز) قرار گرفتند و هر آزمایش برای هر دو گروه انجامدادی که شرح آن در ادامه می‌آید، ۵ بار تکرار شد.

همواره می‌تواند بیانگر این نکته باشد که برای انجماد بافت تخدمان یک گونه قبل از هر چیز نقش سوکروز در انجماد باید مورد بررسی قرار گیرد. بنابراین در مطالعه حاضر اثر ترکیب ضد یخ‌های EG و DMSO با سوکروز یا بدون آن بر میزان زنده ماندن فولیکولها و شیوع مرگ سلولی برنامه‌ریزی شده (Apoptosis) در کل بافت تخدمان موش صحرایی ۵ هفته‌ای بررسی شد.

مراحل انجماد شیشه‌ای

برای هر یک از گروه‌های آزمایشی I و VII، آب‌گیری به ترتیب به وسیله دو محلول انجمادی ۱ و ۲ و هر یک به مدت ۵ دقیقه انجام شد. ترکیب HTCM و ۱۰ درصد HSA به عنوان محلول پایه انجمادی و میزان ترکیبات EG و DMSO و سوکروز طبق جدول ۱ در نظر گرفته شد. پس از آب‌گیری مراحل برداشت بافت تخدمان به وسیله نوک سوزن و شناور ساختن آن در نیتروژن مایع نیز به مانند آنچه که در مورد بافت تخدمان گوسفند آمده است، انجام پذیرفت [۵].

مواد و روش‌ها

تهییه تخدمان موش صحرایی و طراحی آزمایش
در هر بار آزمایش، ابتدا تخدمان‌ها از بدن ۳ سر موش صحرایی ۵ هفته‌ای بالغ با وزن ۷۰ تا ۸۰ گرم خارج و در HEPES modified (HEPES ۱۹۹ حاوی Sigma) (tissue culture medium 199: HTCM ۱۰ درصد آلبومین سرم انسانی (Human Serum Albumin:) (HSA) قرار داده شدند. سپس تخدمان‌ها به صورت تصادفی به

جدول ۱ ترکیب و غلظت ضد یخ‌ها در گروه‌های مختلف انجمادی

گروه	محلول انجمادی ۱	محلول انجمادی ۲
V _I	۱۵ درصد ۷/۵+EG	۱۵ درصد DMSO
V _{II}	۷/۵ درصد ۰/۲۵+DMSO	۱۵ درصد EG

صورت گرفت. در انتهای تخدمان‌های ذوب شده به مدت ۲۰ تا ۳۰ دقیقه در انکوباتور ۳۷ درجه سانتی‌گراد و CO₂ ۵ درصد کشت داده شدند [۴، ۷] و سپس مانند گروه کنترل در محلول بوئن برای ارزیابی‌های بعدی ثبیت شدند.

ذوب

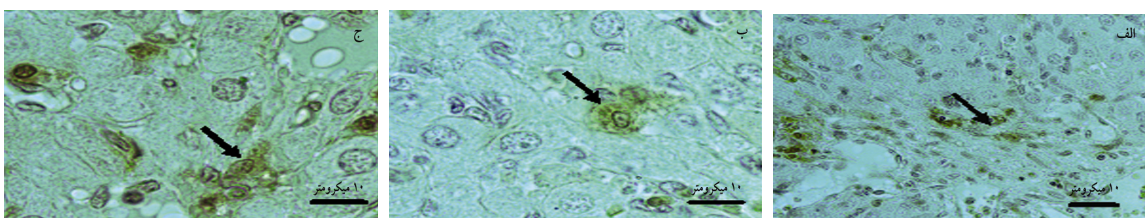
ذوب در ۴ مرحله و هر مرحله به مدت ۵ دقیقه انجام شد. در ابتدا تخدمان‌های هر گروه آزمایشی از نیتروژن مایع خارج و بلافارسله در محلول ذوب اول (W1: ۱ + HTCM) ۱ مول در لیتر سوکروز) غوطه‌ور شدند. سپس در محلول ذوب دوم (W2: ۰/۵ + HTCM) ۰/۵ مول در لیتر سوکروز) و به همین ترتیب در محلول ذوب سوم (W3: ۰/۲۵ + HTCM) ۰/۲۵ مول در لیتر سوکروز) و چهارم (W4: ۰/۱۲۵ + HTCM) ۰/۱۲۵ مول در لیتر سوکروز) قرار گرفتند. تمامی مراحل ذوب در دمای اتاق انجام شد به غیر از مرحله اول که در حمام آب ۳۷ درجه سانتی‌گراد

ارزیابی‌های ریخت‌شناختی (Morphologic) و ایمونو‌هیستوشیمی

تخدمان‌های ثبیت شده، تحت فرآیند آب‌گیری قرار گرفته و پس از قالب‌گیری در محلول پارافینی، به صورت سریالی و با ضخامت ۶ میکرومتر برش داده شدند و با روش هماتوکسیلین

اثر سوکروز بر انجماد شیشه‌ای تخدمان موش صحرابی

جانداری که آنتی‌بادی در بدن او ساخته شده) به وسیله سرم بز ۱۰ درصد حذف شد (۱ ساعت، ۳۷ درجه سانتی‌گراد). در این مرحله قطعات بافتی ابتدا با آنتی‌بادی اولیه (۲ ساعت، ۳۷ درجه سانتی‌گراد) و سپس آنتی‌بادی ثانویه با رقت ۱:۵۰۰ (۱ ساعت، ۳۷ درجه سانتی‌گراد) تیمار شد. پس از این مرحله، برای دیده شدن آنتی‌بادی ثانویه با نور مرئی (نوری‌سازی واکنش)، قطعات بافتی ابتدا با آنزیم پراکسیداز (Horseradish Peroxidase: HRP) به مدت ۳۰ دقیقه در دمای اتاق و سپس با محلول حاوی کروموزن (Diaminobenzidine: DAB) به مدت ۵ تا ۱۵ دقیقه و در دمای اتاق تیمار شد. باید توجه کرد که مدت تیمار با DAB تا زمان رنگ‌پذیری ادامه یابد. در نهایت قطعات بافتی تحت فرآیند آب‌گیری قرار گرفته و پس از پوشاندن سطح لام با لامل با میکروسکوپ نوری قابل مشاهده خواهد بود. اگر شمارش تعداد کل سلول‌های بافت مهم است، می‌توان قبل از آب‌گیری، قطعات بافتی را با رنگ متمايز دیگری مانند هماتوکسیلین رنگ کرد. بهتر است رنگ دوم جایگاه اتصالی متفاوتی با عامل مورد بررسی که به آنتی‌بادی اول متصل می‌شود، داشته باشد. به طور مثال در این پژوهش عامل مورد بررسی کاسپاز ۳ (Caspase 3) بوده که جایگاه بیان آن در سیتوپلاسم است، بنابراین برای رنگ‌آمیزی دوم از هماتوکسیلین استفاده شد که غیرسیتوپلاسمی است و هسته را رنگ می‌کند.



شکل ۱ مقطع عرضی تخدمان‌های موش صحرابی تیمار شده با آنتی‌بادی ۳ anti-pro & active caspase ۳ (الف) کنترل (غیر انجمادی)، (ب) انجمایی Caspase Positive (آنچه زرد چار مرگ سلولی برنامه‌ریزی شده V_H، فلاش: سلول‌های جسم زرد چار مرگ سلولی برنامه‌ریزی شده) (ج) انجمادی

کاسپاز ۳ مثبت بودند، به عنوان فولیکول چهار مرگ برنامه‌ریزی شده در نظر گرفته شدند (شکل ۱).

و ائوزین (Hematoxylin and Eosin) رنگ‌آمیزی شدند. قطعات بافتی رنگ‌آمیزی شده به وسیله میکروسکوپ نوری ارزیابی و تعداد فولیکول‌های سالم و مرده برآسان مطالعه گوگئون (Gougeon) شمارش شدند [۱۹]. ائوزینوفیلیک شدن شدید سیتوپلاسم تخمک، جمع شدن و تراکم بیش از حد Zona کروماتین، چروکیدگی غشای هسته و زونا پلوسیدا (Pellucida) و فاصله گرفتن بیش از حد سلول‌های گرانولوزا (Granulosa Cells) از یکدیگر و تخمک نشانه‌هایی از آترزی شدن (Atresia) فولیکول به شمار می‌روند.

آزمایش ایمونوهیستوشیمی با استفاده از آنتی‌بادی rabbit anti-pro and active caspase 3 و نیز روش آویدین-بیوتین-ایمونپراکسیداز (avidin-biotin-immunoperoxidase، Vector Labs، کانادا) صورت گرفت. قبل از انکوبه شدن با آنتی‌بادی اولیه (با رقت ۱ به ۵۰۰)، قطعات بافت با پراکسید هیدروژن (H₂O₂) ۳ درصد برای مهار پراکسیدازهای داخلی به مدت ۳۰ دقیقه تیمار شد و سپس تحت احیای آنتی‌زن با روش آنژیمی (تریپسین+ CaCl₂/2H₂O₄) به مدت ۳۰ دقیقه و در دمای ۳۷ درجه سانتی‌گراد قرار گرفت. سپس بافت به مدت X100 دقیقه در دمای اتاق تحت تیمار با محلول تریتون X100 (Triton X100) برای نفوذپذیر شدن قرار گرفت. به منظور جلوگیری از اتصال غیراختصاصی آنتی‌بادی اولیه، آنتی‌زن‌های مشترک بین دو گونه جانوری (جانداری که آنتی‌بادی علیه او و

در این آزمایش فولیکول‌هایی که تخمک یا بیش از ۵۰ درصد سلول‌های کومولوسی (Cumulus Cells) آنها در رنگ‌آمیزی

فولیکول‌ها و میزان وقوع مرگ سلولی برنامه‌ریزی شده ارزیابی شد. در نهایت تجزیه و تحلیل آماری تمامی داده‌ها بین گروه‌های کترل و آزمایشی انجام شد.

تعداد فولیکول‌های سالم و مرده

تعداد فولیکول‌های بدبوی سالم بین گروه کترل ($\pm 0/03$) و $37/53$ درصد) و هر دو گروه انجام‌دادی V_I و V_{II} (به ترتیب $14/37 \pm 0/02$ درصد و $19/04 \pm 0/03$ درصد) تفاوت معنی‌دار نشان داد ($P < 0/004$). تفاوت در تعداد فولیکول‌های بدبوی مرده نیز بین گروه کترل ($2/91 \pm 0/00$ درصد) و هر دو گروه انجام‌دادی V_I و V_{II} (به ترتیب $9/36 \pm 0/02$ درصد و $7/46 \pm 0/01$ درصد) معنی‌دار بود ($P < 0/047$) (جدول ۲). تعداد فولیکول‌های بدبوی سالم و مرده بین گروه‌های انجام‌دادی V_I و V_{II} یکسان بوده و تفاوت آماری محسوسی را نشان ندادند.

تجزیه و تحلیل داده‌ها

تمامی داده‌ها با آزمون کولموگروف- اسمیرنوف (Kolmogorov-Smirnov) سالم، مرده و دچار مرگ برنامه‌ریزی شده بین گروه‌های انجام‌دادی و کترل با استفاده از آزمون t-test مقایسه شد. برای این منظور نرم‌افزار SPSS نسخه ۱۶ استفاده شد. داده‌ها نیز به همراه میانگین خطای استاندارد (Standard Error Mean: SEM) ارایه و اختلاف زیر عدد ($0/005$) ($P < 0/005$) معنی‌دار در نظر گرفته شد.

نتایج

به طور کلی در این مطالعه اثر حضور یا عدم حضور سوکروز در محلول انجام‌دادی بافت تخمدان بر ریخت‌شناسی

جدول ۲ فولیکول‌های سالم و مرده در گروه‌های کترل، انجام‌دادی

آنترا		پره‌آنترا		اولیه		بدبوی		گروه	
سالم	مرده	سالم	مرده	سالم	مرده	سالم	مرده	کترل	
$19/86 \pm 0/02$	$2/70 \pm 0/00^*$	$9/01 \pm 0/00$	$1/49 \pm 0/00^*$	$24/20 \pm 0/03$	$3/26 \pm 0/00^*$	$37/53 \pm 0/03^*$	$2/91 \pm 0/00^*$		
$17/10 \pm 0/02$	$7/40 \pm 0/00^{**}$	$7/05 \pm 0/01$	$5/79 \pm 0/00^{**}$	$21/83 \pm 0/02$	$18/06 \pm 0/03^{**}$	$14/37 \pm 0/02^{**}$	$9/36 \pm 0/02$	V_I	
$17/02 \pm 0/02$	$7/25 \pm 0/01^{**}$	$8/92 \pm 0/01$	$5/86 \pm 0/00^{**}$	$21/26 \pm 0/01$	$14/15 \pm 0/03^{**}$	$19/04 \pm 0/03^{**}$	$7/46 \pm 0/01^{**}$	V_{II}	

داده‌ها به صورت میانگین درصد \pm SEM ارایه شده‌است. گروه کترل: تخمدان‌های غیر انجام‌دادی، V_I : DMSO + EG، V_{II} : EG + DMSO. مول در لیتر سوکروز در هر ستون داده‌های دارای * با ** معنی‌دار است.

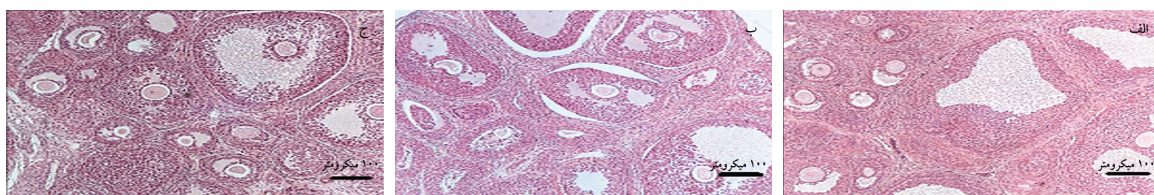
انجام‌دادی تفاوت آماری آشکاری را نشان نداد (جدول ۲). تفاوت در تعداد فولیکول‌های پره‌آنترا (Pre-antral) سالم نیز بین خود گروه‌های انجام‌دادی (V_I : $7/05 \pm 0/01$ درصد و V_{II} : $5/79 \pm 0/00$ درصد) و همچنین گروه کترل ($9/01 \pm 0/00$ درصد) و افزایش در تعداد فولیکول‌های اولیه مرده در هر دو گروه انجام‌دادی V_I و V_{II} (به ترتیب $1/49 \pm 0/00$ درصد و $1/46 \pm 0/00$ درصد) نسبت به گروه کترل ($2/70 \pm 0/00$ درصد) با وجود یکسان بودن، نسبت به گروه کترل ($1/49 \pm 0/00$ درصد) افزایش معنی‌داری نشان دادند ($P < 0/022$) (جدول ۲).

تعداد فولیکول‌های اولیه سالم در گروه‌های انجام‌دادی V_I ($21/83 \pm 0/02$ درصد) و V_{II} ($21/26 \pm 0/01$ درصد) با گروه کترل ($3/26 \pm 0/00$ درصد) تفاوت معنی‌داری را نشان نداد. اما افزایش در تعداد فولیکول‌های اولیه مرده در هر دو گروه انجام‌دادی V_I و V_{II} (به ترتیب $18/06 \pm 0/03$ درصد و $14/15 \pm 0/03$ درصد) نسبت به گروه کترول ($2/91 \pm 0/00$ درصد) معنی‌دار بود ($P < 0/015$). تعداد فولیکول‌های اولیه سالم و مرده نیز به مانند فولیکول‌های بدبوی بین دو گروه

اثر سوکروز بر انجماد شیشه‌ای تخدمان موش صحرایی

یکسان بودن در هر دو گروه انجمادی V_I (40 ± 0.00 درصد) و V_{II} (25 ± 0.01 درصد)، مانند سایر انواع فولیکول‌ها نسبت به گروه کنترل (40 ± 0.00 درصد) افزایش معنی‌داری نشان دادند ($P < 0.01$) (جدول ۲) (شکل ۲).

فولیکول‌های آنترال سالم در بین گروه‌های انجمادی V_I : 17 ± 0.02 درصد و V_{II} : 17 ± 0.02 درصد) و گروه کنترل (19 ± 0.02 درصد) افزایش یا کاهش معنی‌دار نشان ندادند. در حالی‌که فولیکول‌های آنترال (Antral) مرده علی‌رغم



شکل ۲ مقطع عرضی تخدمان‌های موش صحرایی رنگ‌آمیزی شده با هماتوکسیلین و اثوزین؛ (الف) کنترل (غیر انجمادی)، (ب) انجمادی V_I ، (ج) انجمادی V_{II}

جدول ۳ فولیکول‌های دچار مرگ سلوی برنامه‌ریزی شده در گروه‌های کنترل و انجمادی

گروه	بدوی	اولیه	پره‌آنترال	آنترال
کنترل	0.8 ± 0.02	$1.28 \pm 0.01^{***}$	$2.92 \pm 0.03^*$	$2.13 \pm 0.09^*$
V_I	1.15 ± 0.03	$1.95 \pm 0.03^{***}$	$1.75 \pm 0.05^{***}$	$0.75 \pm 0.02^{**}$
V_{II}	1.05 ± 0.02	$4.12 \pm 0.02^*$	$1.23 \pm 0.02^{**}$	$4.87 \pm 0.02^{**}$

داده‌ها به صورت میانگین درصد \pm SEM ارایه شده است. گروه کنترل: تخدمان‌های غیر انجمادی، V_I : DMSO + EG، V_{II} : EG. مول در لیتر سوکروز. در هر ستون داده‌های دارای * با ** معنی‌دار است.

در فولیکول‌های پره‌آنترال پس از انجماد، میزان بروز مرگ سلوی برنامه‌ریزی شده در گروه V_{II} (40 ± 0.02 درصد) افزایش معنی‌داری نسبت به دو گروه کنترل (40 ± 0.01 درصد) و V_I (40 ± 0.03 درصد) داشت ($P < 0.037$) (شکل ۳). و در نهایت در فولیکول‌های آنترال اگر چه وقوع مرگ سلوی برنامه‌ریزی شده در دو گروه انجمادی V_I و V_{II} (به ترتیب: 1.15 ± 0.03 درصد و 1.05 ± 0.02 درصد) نسبت به گروه کنترل (0.8 ± 0.02 درصد) افزایش داشت اما این افزایش معنی‌دار نبود (جدول ۳) (شکل ۲).

میزان شیوع مرگ سلوی برنامه‌ریزی شده

بررسی میزان بیان پرتوئین کاسپاز ۳ به روش ایمونو‌هیستوشیمی در گروه‌های انجمادی V_I و V_{II} نشان داد که تعداد فولیکول‌های دچار مرگ سلوی برنامه‌ریزی شده در مراحل مختلف به غیر از فولیکول‌های آنترال نسبت به گروه کنترل افزایش معنی‌دار می‌باشد.

میزان وقوع مرگ سلوی برنامه‌ریزی شده در فولیکول‌های بدبوی در گروه کنترل (2.13 ± 0.09 درصد) به طور معنی‌داری کمتر از دو گروه انجمادی بود ($V_I: 0.75 \pm 0.02^{**}$ درصد و $V_{II}: 4.87 \pm 0.02^{**}$ درصد) ($P < 0.042$). تعداد فولیکول‌های اولیه دچار مرگ سلوی برنامه‌ریزی شده در دو گروه انجمادی V_I و V_{II} (به ترتیب: 1.27 ± 0.05 درصد و 1.11 ± 0.02 درصد) نسبت به گروه کنترل (1.22 ± 0.03 درصد) افزایش نشان داد ($P < 0.025$).

بحث

در مطالعه حاضر تأثیر ترکیب ضدیخ‌های EG و DMSO در حضور سوکروز یا بدون آن، بر میزان سالم ماندن فولیکول‌ها و نیز شیوع مرگ سلوی برنامه‌ریزی شده در بافت تخدمان

شده است. ظاهراً PVS (Perivitelline Space) در فولیکول‌های گروه I افزایش بیشتری یافته است. با توجه به نقش سوکروز در حفاظت از بافت در برابر آسیب‌های مکانیکی به نظر می‌رسد گروه حاوی سوکروز با این که تغییر معنی‌داری در سایر موارد تحت بررسی با گروه فاقد آن نشان نداده است اما تمامیت بافت را بهتر حفظ کرده و این طور به نظر می‌رسد که از این منظر، محلول انجامادی حاوی سوکروز (گروه V_{II}) روش قابل قبول‌تری در حفظ بافت ارایه می‌نماید.

البته ذکر این نکته مهم است که باید آثار سوکروز را بر فراساختار بافت نیز بررسی نمود تا جنبه‌های مختلف استفاده از آن مشخص شود، چرا که در بسیاری از موارد ظاهر سلول و بافت حکایت درستی از ساختار درونی آن ندارد [۳۳، ۹]. لازم به ذکر است که نتایج این مطالعه تا حدودی با مطالعه قبلی محققان حاضر متفاوت است. در مطالعه قبلی اثر ترکیب ضدیخ‌های EG و DMSO به همراه ۰/۲۵ مول در لیتر سوکروز بر قطعات قشر تخدمان گوسفنده برسی شد [۵]. نتایج در آن جا نشان داد که در گروه آزمون سمیت تقریباً کل فولیکول‌ها نسبت به گروه انجامادی بهتر حفظ شده بود که این میزان در تعداد فولیکول‌های پره‌آنترال معنی‌دار بود (به ترتیب $2/00 \pm 8/00$ درصد و $1/90 \pm 4/20$ درصد). این امر تیجه آن است که احتمالاً ترکیبات مختلف ضدیخ در گونه‌های جانوری آثار متفاوتی دارد و این آثار وابسته به گونه است و حتی اثر استفاده از آن در سلول‌ها و بافت‌های مختلف یک گونه نیز می‌تواند متفاوت باشد. بنابراین استفاده از سوکروز به عنوان یک دی‌ساکارید در تمامی گونه‌ها و نمونه‌ها ضروری به نظر نمی‌رسد.

EG و DMSO در بسیاری از مطالعات به عنوان ضدیخ‌های مناسب در انجاماد بافت تخدمان معرفی شده‌است: گاو [۲۶، ۹]، بز [۲۴، ۲۵]، گوساله [۲۲-۲۱]، انسان [۳۴]، گربه‌سانان [۲۸، ۲۷] و گوسفنده [۵]. در برخی از این مطالعات، EG بهتر از DMSO معرفی شده [۲۱، ۲۲، ۲۴، ۲۶] و در برخی دیگر نتایج معکوس است [۲۳، ۹]. نیوتون (Newton) در سال ۱۹۹۸ اثر ضدیخ‌های PROH، EG، DMSO و گلیسرول

موش صحرایی ۵ هفته‌ای بررسی شد. باید اذعان نمود که مطالعات مشابهی نیز در مقایسه آثار ضدیخ‌های مختلف بر بافت تخدمان انسان [۲۰]، گوساله [۲۳-۲۱]، بز [۲۴، ۲۵]، گاو [۲۶، ۹]، گربه‌سانان [۲۷، ۲۸]، جنین آبزیان [۲۹] و مایع منی خوک [۳۰] انجام شده است. همچنین فراساختار بافت تخدمان گاو تحت تأثیر ضدیخ‌های مختلف مورد مطالعه قرار گرفته [۹] و در آن گزارش شده است که ضدیخ‌های PROH و DMSO در حفظ بافت تخدمان گاو نسبت به سایر ضدیخ‌ها موفق‌تر عمل می‌کنند.

در پژوهش حاضر بیشترین تعداد فولیکول‌های سالم در بافت تخدمان گروه کنترل، فولیکول‌های بدوي بودند ($19/04 \pm 0/02$) درصد. پس از انجاماد در گروه‌های انجامادی V_I (۱۴/۳۷ $\pm 0/03$) و V_{II} ($14/37 \pm 0/03$) درصد) تعداد فولیکول‌های بدوي سالم کاهش معنی‌داری نسبت به گروه کنترل داشتند. به نظر می‌رسد زمانی که سوکروز به میزان ۰/۲۵ مول در لیتر به ترکیب ضدیخ‌ها اضافه شده است، اثرگذاری چنانی برای حفظ فولیکول‌های بدوي نداشته یا استفاده از آن طبق مقالات مختلف وابسته به گونه است و شاید به همین دلیل است که در برخی مطالعات نقش دی‌ساکاریدها را در فرآیند انجاماد ناچیز دانسته و از محلول‌های بدون سوکروز استفاده می‌کنند [۱۷، ۱۸]. با این حال جین (Jin) و همکارانش در سال ۲۰۱۰ ادعا کردند که سوکروز به عنوان یک دی‌ساکارید نقش بهسازی در موفقیت فرآیند انجاماد دارد [۱۵]، چرا که استفاده از آن موجب کاهش میزان سمیت مواد ضدیخ شده و سرعت نفوذ ضدیخ‌های نفوذ کننده نظیر گلیسرول و PROH را افزایش می‌دهد [۳۱]. همچنین سوکروز به دلیل این که در اطراف سلول قرار می‌گیرد، می‌تواند نقش بالشتکی را ایفا کند که سلول را تا حدودی از آسیب‌های فیزیکی و مکانیکی حفظ می‌نماید [۳۲]. با توجه به تصاویر رنگ‌آمیزی شده به وسیله هماتوکسیلین و ائوزین، تمامیت بافت در گروه انجامادی V_I از گروه V_{II} بهتر حفظ

اثر سوکروز بر انجماد شیشه‌ای تخدمان موش صحرایی

حد سلول و آسیب جدی به اندامکهای داخلی و غشا را به دنبال دارد [۳۹]. تمامی موارد فوق می‌تواند موجب القای مرگ سلولی برنامه‌ریزی شده و نکروز (Necrosis) بافتی شود. میزان سمیت EG نیز نسبت به DMSO کمتر است [۴۰]. البته این مسئله می‌تواند وابسته به گونه باشد. یعنی ممکن است EG در بافت تخدمان موش صحرایی سمی باشد اما در بافت تخدمان گوسفند سمی نباشد یا این که EG نسبت به DMSO بر بافت تخدمان گاو اثر سمی بیشتری داشته باشد [۹]. این مسئله نیز بسیار مهم است که هر چقدر بر درصد ضدیخ در محلول افزوده می‌شود، نقطه انجمادی محلول نیز کاهش می‌یابد. به عنوان مثال نقطه انجماد محلول حاوی ۵ درصد EG، ۵ درجه سانتی‌گراد است. اما محلولی با ۱۰ درصد EG نقطه انجمادی در حدود ۴- درجه سانتی‌گراد دارد. البته در غاظت بیش از ۷۰ درصد EG، نقطه انجماد به صورت عکس با افزایش غاظت، بالا رفته و مجدداً به صفر نزدیک می‌شود [۴۱].

DMSO با فرمول مولکولی C_2H_6OS دارای وزن مولکولی ۷۸/۱۳ گرم در مول و چگالی ۱/۱۰۰۴ گرم در هر سانتی‌متر مکعب است. DMSO از اولین موادی است که برای حفاظت در برابر سرما استفاده شده است و تا حدودی در این مسئله بیش از EG محبوبیت دارد. DMSO ابتدا در سال ۱۸۶۶ توسط شیمیدان روسی الکساندر زایتسو (Alexander Zaytsev) ساخته شد. اکسید کردن دی‌متیل سولفاید (Dimethyl Sulfide) با اکسیژن خالص و یا به‌وسیله اکسید نیتروژن باعث ایجاد DMSO می‌شود [۴۲] که به دلیل قدرت حلایت بالا در بسیاری از واکنش‌های شیمیایی از آن استفاده می‌شود [۴۲]. حلایت بالای DMSO می‌تواند در کاهش چسبندگی محلول و افزایش تماس سلول‌ها با آن مؤثر باشد. اگرچه DMSO نسبت به سایر ترکیبات هم‌خانواده خود نظری دی‌متیل فرمامید (Dimethylformamide) و دی‌متیل استامید (Dimethylacetamide) از کمترین میزان سمیت برخوردار است اما به طور کلی نسبت به ضدیخ‌های متداول دیگر مانند EG سمیت بیشتری دارد [۳۱].

را بر بافت تخدمان انسانی ارزیابی کرد و اشاره نموده که قدرت نفوذ ضدیخ‌های DMSO و EG به دلیل داشتن وزن مولکولی کمتر نسبت به سایرین بهتر بوده است [۳۵]. مطالعاتی نیز به دلیل نفوذ خوب DMSO، آن را برای انجماد انواع سلول‌ها مناسب دانسته‌اند [۳۶]. همچنین لوسی (Lucci) اثر ضدیخ‌های فوق و PROH را به تنهایی بر بافت تخدمان گاو بررسی کرد و نتیجه گرفت که EG ضعیفترین اثر را برای حفظ فولیکول‌های در حال تکوین داشته است [۹].

در هر حال به منظور مقایسه اثر ضدیخ‌ها بر بافت تخدمانی باید به سه نکته اساسی اشاره نمود: ۱) سرعت نفوذ ضدیخ به داخل سلول‌های بافت تخدمانی (۲) میزان سمیت ضدیخ (۳) انواع مختلف سلولی در بافت تخدمان. سرعت نفوذ یک ضدیخ به دو عامل بستگی دارد: وزن مولکولی و چگالی که در بین سه ضدیخ مورد بررسی در مطالعه حاضر، EG با فرمول مولکولی $C_2H_6O_2$ ، کمترین وزن مولکولی (۶۲/۰۶۸ گرم در مول) و بیشترین چگالی را دارد (۱/۱۱۳۲ گرم در هر سانتی‌متر مکعب). EG اولین بار در سال ۱۸۵۹ توسط شیمیدان فرانسوی چارلز-آدلف وورتز (Charles-Adolphe Wurtz) از روی استات اتیلن گلایکول (Acetate Ethylene Glycol) و از طریق ساپونیفیکیشن (Saponification) با هیدروکسید پتاسیم (Potassium Hydroxide) و در سال ۱۸۶۰ از آب‌دهی اکسید اتیلن (Ethylene Oxide) به دست آمد. تقریباً ۶۰ درصد EG تولیدی در جهان به عنوان ماده ضدیخ و بقیه در صنایع پلیمر به کار می‌رود [۳۷]. اگر چه EG به دلیل داشتن وزن مولکولی پایین، قدرت نفوذ بهتری نسبت به سایر ضدیخ‌ها دارد [۳۸]، اما باید توجه داشت که اثر این ویژگی می‌تواند با توجه به اندازه متفاوت و عدم یکنواختی سلول‌ها به خصوص در بافت تخدمان تغییر کند؛ چرا که سرعت جابه‌جایی بین آب و EG در سلول‌های با اندازه‌های متفاوت متغیر است و در این حالت EG به سرعت وارد سلول می‌شود ولی آب نمی‌تواند با همان سرعت از سلول خارج شده و موجب ترکیدن سلول می‌شود. همین مسئله در زمان آب‌دهی مجدد نیز، چروکیدگی بیش از

پایین، عدم وجود لایه زونا و گرانولهای قشری و نیز میزان کم چربی درون سیتوپلاسمی حساس به کاهش دما [۹]، نسبت به فولیکولهای دیگر به آسیب‌های انجام‌دادی مقاومت بیشتری دارند، اما نتایج نشان دادند که شاید میزان سرعت نفوذ و نیز سمیت ضدیخ‌ها در بافت تخدمان موش صحرایی، در درجه اول اهمیت قرار داشته و این امر بر آسیب به فولیکول‌ها به خصوص فولیکولهای بدبوی نزدیک به سطح، تأثیرگذار بوده است به گونه‌ای که افزودن سوکروز نیز نتوانسته است ضامنی برای حفظ بهتر فولیکول‌ها باشد.

به طور کلی مطالعه حاضر نشان می‌دهد که افزودن سوکروز به ترکیب محیط انجام‌دادی نظری EG و DMSO نمی‌تواند چندان به حفظ فولیکول‌ها به خصوص فولیکول‌های بدبوی و اولیه که در روند انجام‌داد و پیوند از اهمیت خاصی برخوردار هستند کمک کند.

تشکر و قدردانی

این مقاله مستخرج از رساله دکتری رشته علوم تشریح دانشکده علوم پزشکی دانشگاه تربیت مدرس بوده که با حمایت مالی دانشگاه تربیت مدرس و پژوهشگاه رویان انجام شده است.

نکته دیگر در ارزیابی اثر ضدیخ‌ها، نوع بافت و سلول است. از آنجایی که بافت تخدمان از مجموعه سلولی با اقطار متفاوت مانند سلول‌های استرومای و اندوتیال با قطر حدود ۲ میکرومتر و تخمک با قطر حدود ۱۲۰ میکرومتر تشکیل شده است، میزان اثرگذاری ضدیخ‌ها و بقای سلولی متغیر خواهد بود. همچنین وجود فضاهایی با اندازه‌های متفاوت در لایه‌لای سلول‌های گرانولوزا نیز نفوذ و عبور ضدیخ‌ها را به سمت تخمک با مشکل مواجه می‌کند. از طرف دیگر فاصله فولیکول‌های بزرگ‌تر از سطح تخدمان، تأثیرپذیری آن‌ها را از ضدیخ‌ها سخت‌تر می‌نماید. فولیکول‌های بدبوی و اولیه به دلیل نزدیک بودنشان به سطح، سریع‌تر با ضدیخ تماس حاصل کرده و آب‌گیری می‌شوند. در حالی که تخمک درون این فولیکول‌ها وارد فاز چروکیدگی می‌شوند اما تخمک‌های موجود در عمق بافت تخدمان که در دل فولیکول‌های آنترال یا پره آنترال بزرگ قرار دارند، هنوز با ضدیخ تماس حاصل نکرده‌اند [۹]؛ بنابراین هماهنگی مناسب بین زمان تیمار با ضدیخ، غلظت و نوع ضدیخ بسیار اهمیت دارد.

در مطالعه حاضر، فولیکول‌های آنترال نسبت به فولیکول‌های کوچک‌تر آسیب کمتری دیدند. اگرچه فولیکول‌های بدبوی به دلیل اندازه کوچک، فعالیت متابولیکی

منابع

- [1] Christopoulou C. Robert Boyle's experiments on cold: A study of the role of chemical experiments. 6th International Conference on The History of Chemistry 2007; 423-431. Available at: http://www.euchems.eu/fileadmin/user_upload/binaries/49_Christopoulou_tcm23-139407.pdf
- [2] Demeestere I, Moffa F, Peccatori F, Poirot C, Shalom-Paz E. Multiple approaches for individualized fertility protective therapy in cancer patients. *Obstet Gynecol Int* 2012; 2012: 961232.
- [3] Donnez J, Dolmans MM, Demayle D, Jadoul P, Pirard C, Squifflet J, Martinez-Madrid B, van Langendonckt A. Livebirth after orthotopic transplantation of cryopreserved ovarian tissue. *Lancet* 2004; 364(9443): 1405-10.
- [4] Paynter SJ, Cooper A, Fuller BJ, Shaw RW. Cryopreservation of bovine ovarian tissue: structural normality of follicles after thawing and culture in vitro. *Cryobiology* 1999; 38(4): 301-9.

اثر سوکروز بر انجاماد شیشه‌ای تخدمان موش صحرابی

- [5] Fathi R, Valojerdi MR, Eimani H, Hasani F, Yazdi PE, Ajdari Z, Tahaei LS. Sheep ovarian tissue vitrification by two different dehydration protocols and needle immersing methods. *Cryo Letters* 2011; 32(1): 51-6.
- [6] Baudot A, Courbiere B, Odagescu V, Salle B, Mazoyer C, Massardier J, Lornage J. Towards whole sheep ovary cryopreservation. *Cryobiology* 2007; 55(3): 236-48.
- [7] Borges EN, Silva RC, Futino DO, Rocha-Junior CM, Amorim CA, Bão SN, Lucci CM. Cryopreservation of swine ovarian tissue: effect of different cryoprotectants on the structural preservation of preantral follicle oocytes. *Cryobiology* 2009; 59(2): 195-200.
- [8] Newton H, Aubard Y, Rutherford A, Sharma V, Gosden R. Low temperature storage and grafting of human ovarian tissue. *Hum Reprod* 1996; 11(7): 1487-91.
- [9] Lucci CM, Kacinskis MA, Lopes LH, Rumpf R, Bão SN. Effect of different cryoprotectants on the structural preservation of follicles in frozen zebu bovine (*Bos indicus*) ovarian tissue. *Theriogenology* 2004; 61(6): 1101-14.
- [10] Hovatta O, Silye R, Krausz T, Abir R, Margara R, Trew G, Lass A, Winston RM. Cryopreservation of human ovarian tissue using dimethylsulphoxide and propanediol-sucrose as cryoprotectants. *Hum Reprod* 1996; 11(6): 1268-72.
- [11] Buranaamnuay K, Grossfeld R, Struckmann C, Rath D. Influence of cryoprotectants glycerol and amides, combined with antioxidants on quality of frozen-thawed boar sperm. *Anim Reprod Sci* 2011; 127(1-2): 56-61.
- [12] Forero-Gonzalez RA, Celeghini EC, Raphael CF, Andrade AF, Bressan FF, Arruda RP. Effects of bovine sperm cryopreservation using different freezing techniques and cryoprotective agents on plasma, acrosomal and mitochondrial membranes. *Andrologia* 2012; 44 Suppl 1: 154-9.
- [13] Fathi R, Valojerdi MR, Yazdi PE, Ebrahimi B, Alipour H, Hassani F. Development of 4-cell mouse embryos after re-vitrification. *Cryobiology* 2012; 64(1): 23-6.
- [14] Rezazadeh Valojerdi M, Eftekhari-Yazdi P, Karimian L, Hassani F, Movaghari B. Vitrification versus slow freezing gives excellent survival, post warming embryo morphology and pregnancy outcomes for human cleaved embryos. *J Assist Reprod Genet* 2009; 26(6): 347-54.
- [15] Jin B, Mochida K, Ogura A, Hotta E, Kobayashi Y, Ito K, Egawa G, Seki S, Honda H, Edashige K, Kasai M. Equilibrium vitrification of mouse embryos. *Biol Reprod* 2010; 82(2): 444-50.
- [16] Marsella T, Sena P, Xella S, La Marca A, Giulini S, De Pol A, Volpe A, Marzona L. Human ovarian tissue cryopreservation: effect of sucrose concentration on morphological features after thawing. *Reprod Biomed Online* 2008; 16(2): 257-67.
- [17] El-Gayar M, Gauly M, Holtz W. One-step dilution of open-pulled-straw (OPS)-vitrified mouse blastocysts in sucrose-free medium. *Cryobiology* 2008; 57(3): 191-4.
- [18] Isachenko V, Isachenko E, Petrunkina AM, Sanchez R. Human spermatozoa vitrified in the absence of permeable cryoprotectants: birth of two healthy babies. *Reprod Fertil Dev* 2012; 24(2): 323-6.

- [19] Gougeon A. Dynamics of follicular growth in the human: a model from preliminary results. *Hum Reprod* 1986; 1(2): 81-7.
- [20] Amorim CA, David A, Van Langendonck A, Dolmans MM, Donnez J. Vitrification of human ovarian tissue: effect of different solutions and procedures. *Fertil Steril* 2011; 95(3): 1094-7.
- [21] Capacchietti G, Cecconi S, Gioia L, Turriani M. Effect of cryoprotectant agents on the potential development of sheep preantral follicles. *Vet Res Commun* 2004; 28 Suppl 1: 173-6.
- [22] Cecconi S, Capacchietti G, Russo V, Berardinelli P, Mattioli M, Barbini B. In vitro growth of preantral follicles isolated from cryopreserved ovine ovarian tissue. *Biol Reprod* 2004; 70(1): 12-7.
- [23] Santos RR, Rodrigues AP, Costa SH, Silva JR, Matos MH, Lucci CM, Bão SN, van den Hurk R, Figueiredo JR. Histological and ultrastructural analysis of cryopreserved sheep preantral follicles. *Anim Reprod Sci* 2006; 91(3-4): 249-63.
- [24] Santos RR, Tharasanit T, Figueiredo JR, van Haeften T, van den Hurk R. Preservation of caprine preantral follicle viability after cryopreservation in sucrose and ethylene glycol. *Cell Tissue Res* 2006; 325(3): 523-31.
- [25] Rodrigues AP, Amorim CA, Costa SH, Matos MH, Santos RR, Lucci CM, Bão SN, Ohashi OM, Figueiredo JR. Cryopreservation of caprine ovarian tissue using dimethylsulphoxide and propanediol. *Anim Reprod Sci* 2004; 84(1-2): 211-27.
- [26] Celestino JJ, dos Santos RR, Lopes CA, Martins FS, Matos MH, Melo MA, Bão SN, Rodrigues AP, Silva JR, de Figueiredo JR. Preservation of bovine preantral follicle viability and ultra-structure after cooling and freezing of ovarian tissue. *Anim Reprod Sci* 2008; 108(3-4): 309-18.
- [27] Lima AK, Silva AR, Santos RR, Sales DM, Evangelista AF, Figueiredo JR, Silva LD. Cryopreservation of preantral ovarian follicles in situ from domestic cats (*Felis catus*) using different cryoprotective agents. *Theriogenology* 2006; 66(6-7): 1664-6.
- [28] Bosch P, Hernandez-Fonseca HJ, Miller DM, Wininger JD, Massey JB, Lamb SV, Brackett BG. Development of antral follicles in cryopreserved cat ovarian tissue transplanted to immunodeficient mice. *Theriogenology* 2004; 61(2-3): 581-94.
- [29] Fornari DC, Ribeiro RP, Streit D, Godoy LC, Neves PR, de Oliveira D, Sirol RN. Effect of cryoprotectants on the survival of cascudo preto (*Rhinelepis aspera*) embryos stored at -8°C. *Zygote*. 2011; 26:1-6. [Epub ahead of print]
- [30] Martinez-Alborcua MJ, Valverde A, Parrilla I, Vazquez JM, Martinez EA, Roca J. Detrimental effects of non-functional spermatozoa on the freezability of functional spermatozoa from boar ejaculate. *PLoS One* 2012; 7(5): e36550.
- [31] Liu Z, Foote RH. Osmotic effects on volume and motility of bull sperm exposed to membrane permeable and nonpermeable agents. *Cryobiology* 1998; 37(3): 207-18.
- [32] Yap LV, Noor NM, Clyde MM, Chin HF. Cryopreservation of *Garcinia cowa* shoot tips

اثر سوکروز بر انجاماد شیشه‌ای تخدان موش صحرابی

- by vitrification: the effects of sucrose preculture and loading treatment on ultrastructural changes in meristematic cells. *Cryo Letters* 2011; 32(3): 188-96.
- [33] Silva JR, Bão SN, Lucci CM, Carvalho FC, Andrade ER, Ferreira MA, Figueiredo JR. Morphological and ultrastructural changes occurring during degeneration of goat preantral follicles preserved in vitro. *Anim Reprod Sci* 2001; 66(3-4): 209-23.
- [34] Schmidt KL, Ernst E, Byskov AG, Nyboe Andersen A, Yding Andersen C. Survival of primordial follicles following prolonged transportation of ovarian tissue prior to cryopreservation. *Hum Reprod* 2003; 18(12): 2654-9.
- [35] Newton H, Fisher J, Arnold JRP, Pegg DE, Faddy MJ, Gosden RG. Permeation of human ovarian tissue with cryoprotective agents in preparation for cryopreservation. *Hum Reprod* 1998; 13(2): 376-80.
- [36] Cabrita E, Robles V, Chereguini O, de Paz P, Anel L, Herraéz MP. Dimethyl sulfoxide influx in turbot embryos exposed to a vitrification protocol. *Theriogenology* 2003; 60(3): 463-73.
- [37] Elert, G. Viscosity. *The Physics Hypertextbook*. 2007; Available at: <http://physics.info/viscosity/>
- [38] Voelkel SA, Hu YX. Use of ethylene glycol as a cryoprotectant for bovine embryos allowing direct transfer of frozen-thawed embryos to recipient females. *Theriogenology* 1992; 37(3): 687-97.
- [39] Katkov II, Pogorelov AG. Influence of exposure to vitrification solutions on 2-cell mouse embryos: II. Osmotic effects or chemical toxicity? *Cryo Letters* 2007; 28(6): 409-27.
- [40] Szurek EA, Eroglu A. Comparison and Avoidance of Toxicity of Penetrating Cryoprotectants. *PLoS One* 2011; 6(11): e27604.
- [41] Rebsdat S, Mayer D. Ethylene Glycol. *Ullmann's Encyclopedia of Industrial Chemistry*. Wiley-VCH 2000; Available at: http://onlinelibrary.wiley.com/doi/10.1002/14356007.a10_101/abstract
- [42] Roy KM. Sulfones and Sulfoxides. *Ullmann's Encyclopedia of Industrial Chemistry*. Wiley-VCH 2000; Available at: http://onlinelibrary.wiley.com/doi/10.1002/14356007.a25_487/abstract